

Таблица 2. Элементный состав УТО.
Table 2. Elemental composition carbon solid residue.

Образец	C	O	Al	Si	S	K	Ca	Zn	Mo
УТО-1	84, 13	8,02	0,29	1,41	1,28	0,08	0,11	3,84	0,84
УТО-2	83,82	9,77	0,21	1,59	1,21	0,08	0,12	2,52	0,68

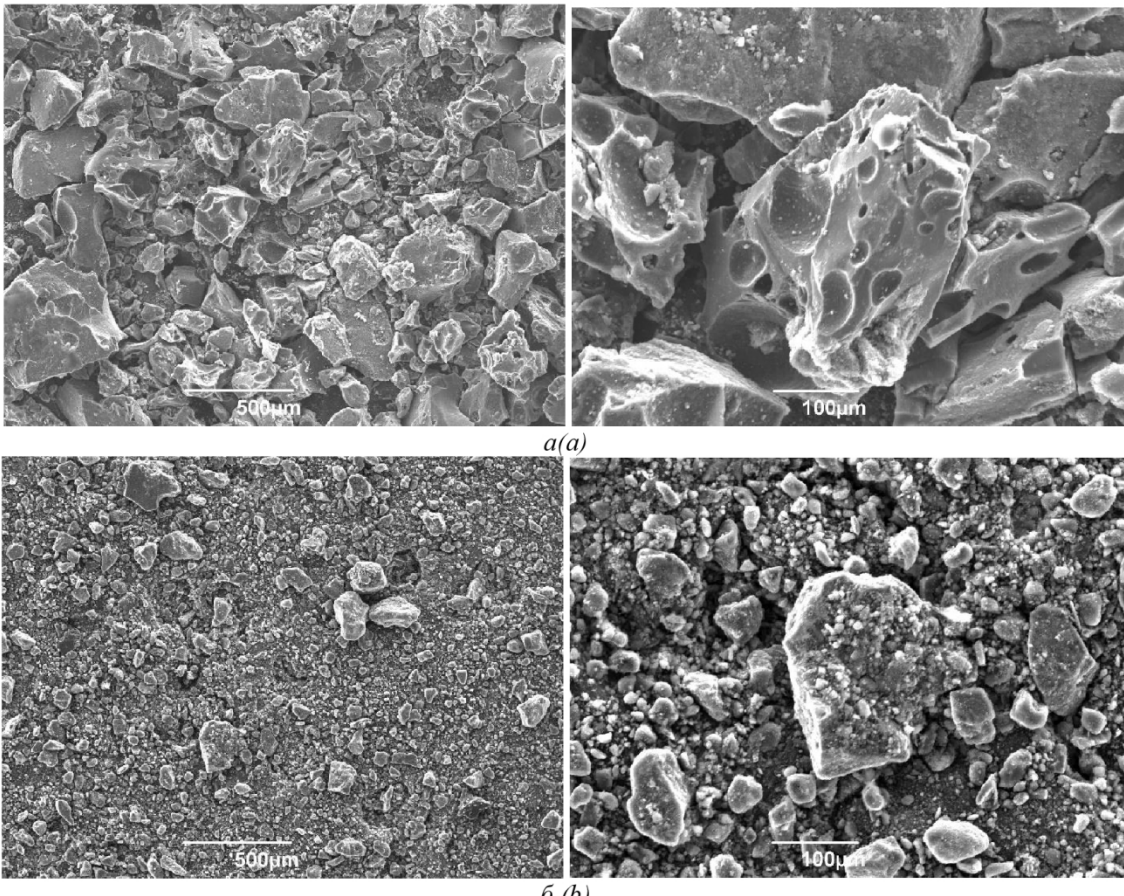


Рис. 3. Электронные микротографии поверхности: а – УТО-1; б – УТО-2
Fig.3. Electronic micrographs of the surface: a – carbon solid residue-1;
b – carbon solid residue-2

Физико-химические характеристики УТО исходного (до измельчения УТО-1) и измельченного (УТО-2) представлены в табл. 1.

Уменьшение размера частиц приводит к увеличению насыпной плотности, кислотности, влаги и выходу летучих веществ и практически не влияет на зольность. Увеличение кислотности (рН 4–5), влаги и выхода летучих веществ связано с тем, что частицы меньшего размера, с большой удельной поверхностью, легче сорбируют кислород из окружающей среды образуя комплексные соединения. В результате анализа выяснено, что УТО имеет высокое значение зольности (для промышленных углей по ГОСТ 4453 и ГОСТ 6217 она недолжна превышать 10%) и выхода летучих веществ [12].

Автомобильные шины это сложные

конструкционные и композиционные РТИ. В состав шин входит каучук 50±7 % (полиизопреновый, полибутиданеновый, бутадиен-стирольный), наполнители (активные и неактивные) 35 %, а также пластификаторы, красители, антиоксиданты и т. д. [13]. Каждый компонент имеет свою температуру деструкции. Поэтому для дальнейшего применения УТО необходимо знать, какие элементы содержится в нем после низкотемпературного (350–470°C) пиролиза.

Исследование элементного состава, а также морфологии поверхности образцов проводили методом сканирующей электронной микроскопии на микроскопе JEOL JSM – 6390 LV с энергодисперсионным анализатором JED 2300. В табл. 2. представлены результаты элементного состава (масс,

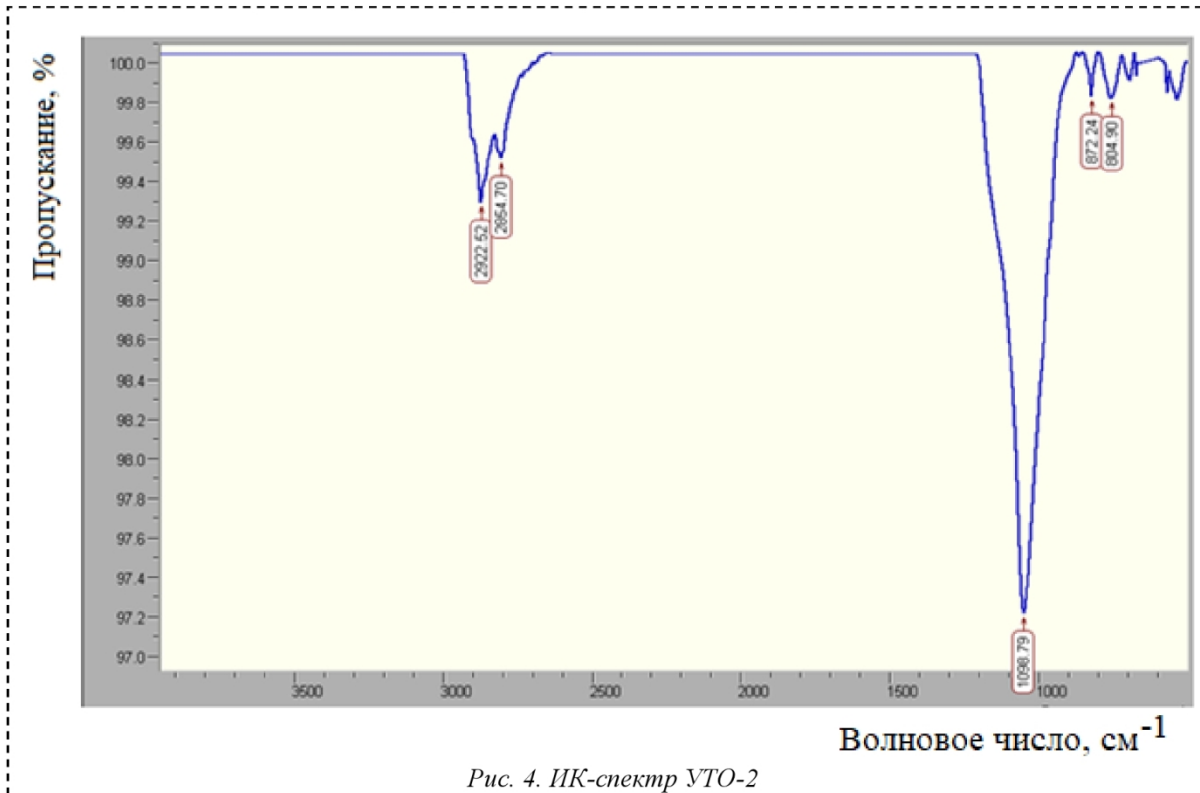


Рис. 4. ИК-спектр УТО-2
Fig.4. IR-spectrum carbon solid residue-2

%) УТО, а на рис. 3. электронные микрофотографии поверхности.

В составе образцов УТО-1 и УТО-2 (табл. 2) высокое содержание углерода (более 83%). Углерод – это основной элемент технического углерода (ТУ), который является активным наполнителем, его вводят в резиновые смеси для улучшения физико-химических свойств (повышению сопротивления разрыву и истирианию) в количестве от 30–60 % от массы каучука. Кроме углерода в составе ТУ могут находиться кислород, водород, сера присутствующие в различных функциональных группах, связанных с углеродом, а также окиси металлов. Для лучшего взаимодействия ТУ с каучуком при производстве резины частицы углерода обрабатывают незначительным количеством поверхностно активных веществ. Наличие Si подтверждает то, что кроме ТУ в составе резины присутствует еще один активный наполнитель – белая сажа, ($mSiO_2 \cdot nH_2O$), ее вводят для повышения адгезии к текстильной или металлической арматуре во всех обкладочных смесях при производстве автомобильных шин. Цинк может присутствовать в активаторе резины (оксид цинка), а также в красителе (цинковые белила). Присутствие в УТО таких элементов как Al, K, Ca, Mo, S свидетельствует о сложном композиционном составе основных компонентов (наполнителей, красителей, пластификаторов) входящих в состав РТИ.

При увеличении 100 нм (рис.4 а) на поверхности частиц (агломератов) УТО-1 имеются углубления и поры большого диаметра (более 10 мкм). В

результате механического воздействия происходит разрушение агломератов и на электронной микрофотографии УТО-2 (рис.4 б) углубления отсутствуют, а также практически не видно пор. Известно, что исходный ТУ имеет слаборазвитую пористую структуру. Процесс термодеструкции резины начинается с разложения макромолекул каучука и выделения газообразных продуктов, содержащих ароматические кольца. Добавки (антиоксиданты, стабилизаторы, ускорители и т. д.) также могут содержать ароматические и бензотиазольные группы. В работе [14] установлено, что раскрытию микропор способствуют молекулы 0,6 нм, поэтому молекулы размером 0,1540–0,5248 нм свободно проникают в образовавшуюся структуру УТО закрывая микропоры. Попадая в микропоры при температурах 350–410°C фрагменты макромолекул каучука остаются там, закрывая их и придавая резкий запах.

На рис. 4. представлен ИК-спектр УТО-2. ИК-спектры получали на спектрометре «Инфракрасный ФТ-801», спектральный диапазон 1,8–18 мкм (5500–550 см⁻¹).

Как видно из рисунка имеются следующие полосы поглощения (ν , см⁻¹): валентные колебания алифатических групп – CH₂, CH₃ (2921,2851), по-видимому, это остатки углеводородов (каучука) присутствующие в микропорах ТУ; колебания в диапазоне

1100–1000 см⁻¹ соответствуют SiO; 872–804 см⁻¹ колебания углеродного скелета, возможно небольшие изменения в структуре первичного ТУ [15,

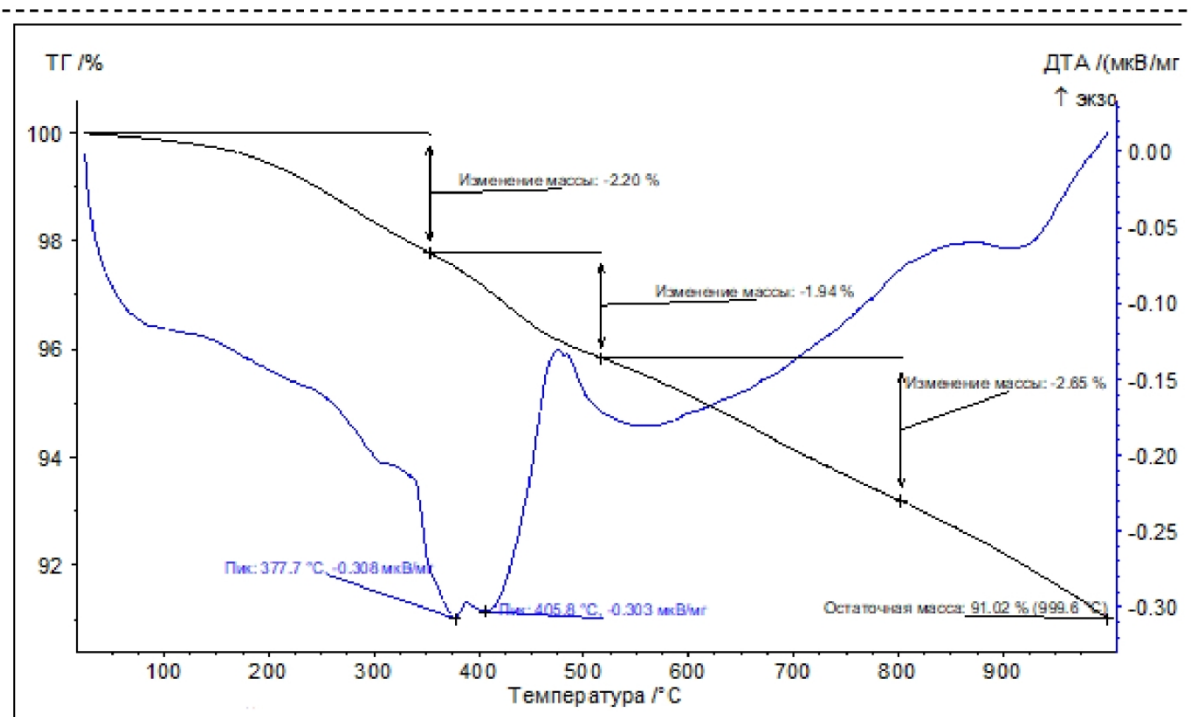


Рис. 5. Дифференциальные термические (ДТА) и термогравиметрические (ТГ) кривые: ТГ – изменение массы; ДТА – разность температур между исследуемым веществом и эталоном.

Fig. 5. Differential thermal (DTA) and thermogravimetric curves (TG): TG – weight change; DTA – the temperature difference between the test substance and the standard.

16].

Термический анализ образцов проводился на приборе «STA-409 PG Luxx». Масса исходного образца составила 35,609 мг. Нагревание проводилось со скоростью 10 К/мин в потоке газовой смеси N₂ (20 мл/мин). На рис. 5. представлены дифференциальные термические (ДТА) и термогравиметрические (ТГ) кривые.

На кривой ДТА (рис.5) имеется большой эндотермический пик с двумя вершинами при температуре 377,7 °C и 406°C. По-видимому, в данном диапазоне происходит разложение остатков углеводородов. Уменьшение массы на 2,2%, 1,94% и 2,65% наблюдается при температурах 75–350°C, 350–525°C и 525–800°C, соответственно. Остаточная масса образца составляет 91,02 % при температуре 999,6°C. Результаты термического анализа позволяют определить температурные параметры дальнейшей термической обработки УТО.

В литературе имеются ссылки о возможности использования УТО в качестве углеродных сорбентов [17–20]. Основными характеристиками сорбентов принято считать текстурные характеристики (удельную поверхность, объем пор, диаметр пор) и сорбционные (адсорбционная активность, степень извлечения и емкость адсорбента по веществу).

Исследования текстурных характеристик проводили методом низкотемпературной адсорбции азота на объемной вакуумной статической установке ASAP-2020, согласно методике изложенной

в работе [21]. Для проведения исследования взяты частицы УТО размером 0,2–0,5 мм. Перед проведением исследования текстурных характеристик образец подвергался промывке бензолом от органических соединений, а затем сушили до постоянной массы (1,2 г.). Величину удельной поверхности представленного образца получали из анализа изотерм адсорбции-десорбции N₂ при -196°C. Перед проведением адсорбционных измерений исследуемые образцы вакуумировали непосредственно в специальном порту прибора при 105°C, в течение 12 ч до остаточного давления не менее 0,5·10⁻³ мм. рт. ст. Измерения изотерм адсорбции-десорбции азота проводили в области равновесных относительных давлений паров от 10⁻³ до 0,995 P/P₀. На рис. 6. представлена изотерма адсорбции-десорбции азота УТО, а значения удельной поверхности (S_{BET}), суммарного объема пор (V_{Σ}), объема микропор ($V_{\text{микро}}$, $V_{\text{мезо}}$), среднего диаметра пор ($D_{\text{пор}}$) приведены в табл. 3.

Анализ полученных данных показывает, что исследуемый образец УТО с размерами частиц 0,2–0,5 мм обладает недостаточно развитой удельной поверхностью ($S_{\text{уд}} \sim 40 \text{ м}^2/\text{г}$), формирование пористой структуры при низкотемпературном пиролизе (350–470°C) происходит за счет образования мезопор, что подтверждается внешним видом изотермы адсорбции-десорбции азота, которая по классификации IUPAC относится к IV типу [22]. Анализ изотермы, полученной с применением

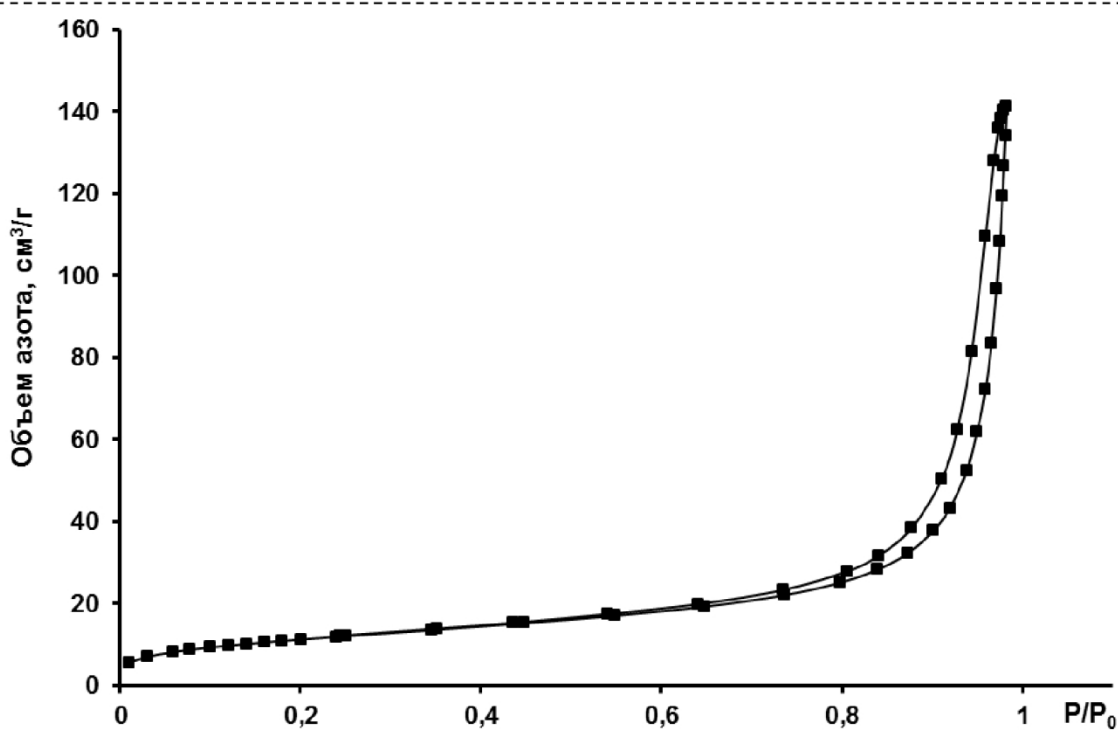


Рис. 6. Изотерма адсорбции-десорбции азота УТО с размерами частиц 0,2–0,5 мм

Fig. 6. Nitrogen adsorption-desorption isotherms carbon solid residue with particle sizes of 0,2–0,5 mm

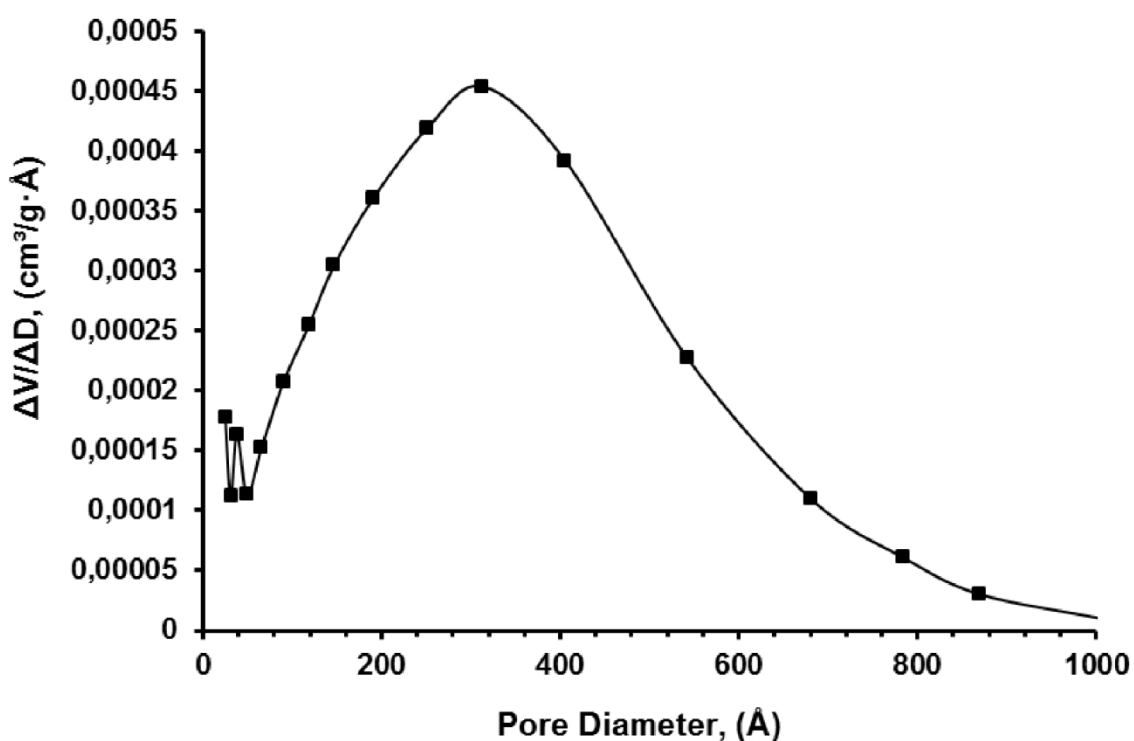


Рис. 7. Дифференциальное распределение мезопор (методом BJH) по размерам для УТО-1

Fig. 7. Differential distribution of mesoporous (BJH method) by size for carbon solid residue-1

9. Makarov, A. V. Some aspects of the recycling of worn-out automobile tires by the pyrolysis method [Electronic resource] / A. V. Makarov // Bulletin of the Tajik State University. 2008. – №1 (8). – p. 247–258. <http://pnu.edu.ru/vestnik/pub/articles/1024/>
10. Makarevich, E. A. Development of the processes of preparation and refining of the solid carbon-containing residue of pyrolysis of tires [Text] / E. A. Makarevich [and others] // Vestnik Kuzbasskogo gosudarstvennogo tekhnicheskogo universiteta. 2017. – № 2. – p. 153–160.
11. Babayevsky P. G. Practical work on polymer materials [Text] / ed. P. G. Babaevsky. – M.: Chemistry, 1980. – 256 p.
12. Sazonov, V. A. Technology of production of activated carbon from crumb rubber of used tires / V. A. Sazonov, V. F. Olontsev, E. A. Sazonova; Institute of Nanotechnology Problems, Perm Institute of Railway Transport // Ecology and Industry of Russia. – 2011. – № 6. – P.4–5.
13. Tarnovsky, V. N. Automobile tires: Device, work, operation, repair [Text] / V. N. Tarnovsky, V. A. Gudkov, O. B. Tretyakov. – Moscow: Transport, 1990.– 272 p.
14. Mukhutdinov, A. A. Adsorbent from a solid residue of pyrolysis of used tires [Text] / A. A. Mukhutdinov [and others] // Ecology and Industry of Russia. – 2006. – № 2. – P.37–39.
15. Nakamoto, K. IR spectra and Raman spectra of inorganic and coordination compounds [Text] / K. Nakamoto. Monograph. Per. from English K.h. n L. Khristenko, ed. D. x. n prof. Pentin Yu. A. – M.: Mir, 1991. – 536 p.
16. Larkin, P. Infrared and raman spectroscopy: principles and spectral interpretation / Peter J. Larkin / ELSEVIER, 2011. – P.228.
17. Peredery, M. A. Carbon sorbents from tire waste [Text] / M. A. Peredredy, M.V. Tsodikov, I.N. Malikov, Yu.I. Kurakov //Solid fuel Chemistry. – 2011. – №2. – p. 37–44.
18. Barnakov, Ch. N. Carbon sorbents from large-sized tires [Text] / Ch. N. Barnakov, G. P. hokhlova, S. N. Vershinin, A.V. Samarov // Coke and Chemistry. – 2015. – № 4. – P.47-50.
19. Mukhutdinov, A. A. Use of the solid pyrolysis residue for wastewater treatment [Text] / A. A. Mukhutdinov [and others] // Ecology and Industry of Russia. – 2006. – № 7. – P.37–41.
20. Sivakova L. G. Wetting of the solid residue of pyrolysis of rubber products released from the use of solutions of surfactants [Text] / Sivakova L. G., Kasyanova O. V. // Vestnik Kuzbasskogo gosudarstvennogo tekhnicheskogo universiteta. – 2018. – №6. – C. 70–75.
21. Kozlov, A. P. Methodological aspects of determining the parameters of the porous structure of carbon sorbents based on fossil coals / A. P. Kozlov, and [other] Vestnik Kuzbasskogo gosudarstvennogo tekhnicheskogo universiteta. – 2017. – №6. – P.197–203.
22. IUPAC Reporting physisorption data for gas / solid system // Pure Appi. Chem. – 1985. – P. 57 (603).
23. Mukhin, V. M. Active coals of Russia / V. M. Mukhin, A. V. Tarasov, V. N. Klishin. – M.: Metallurgy, 2000. – 352 p.

Поступило в редакцию 11.03.2019
 Received 11 March 2019